

# RESPUESTA PATOLÓGICA SEGÚN FENOTIPO MOLECULAR.

SERVICIO ONCOLÓGICO HOSPITALARIO.IVSS.

PEÑA C. JOSEPMILLY\*, MUÑOZ E JOSÉ\*, LÓPEZ CARMEN\*\*, VELÁSQUEZ YAZMIN\*, CAMPOS LEIDER\*, LÓPEZ V DANIEL\*, GÓMEZ R. ALVARO\*, RODRÍGUEZ A. JUAN C\*.



## OBJETIVO.

Evaluar la respuesta patológica y supervivencia de acuerdo al fenotipo molecular en pacientes estadios IIB y III que recibieron quimioterapia neoadyuvante (QTN), cirugía y radioterapia del servicio de patología mamaria del SOH-IVSS en el periodo 2010-2013.

## RESULTADOS.

La tasa global de respuesta patológica completa (Rpc) fue de 12,8%, el fenotipo HER 2 fue la más alta tasa con 23,1%, seguido de los triple negativo (TN) con 15,21%. La supervivencia global (SG) y libre de enfermedad (SLE) en las pacientes con Rpc fue de 86,8% y 79,9%. Se observó una relación significativa entre la respuesta patológica (pCR vs non-pCR) por subgrupo con la SG y SLE en todos los fenotipos moleculares excepto en la SLE de los TN.

## CONCLUSIONES.

El mayor porcentaje de Rpc, se obtuvo en los subtipos Her2 y TN. De acuerdo a los análisis univariados de los indicadores patológicos (RE y KI67) se evidenció una correlación significativa en nuestro estudio. La Rpc no se ha podido relacionar con mejoras en la supervivencia, la no Rpc cuando se analizan por subgrupos pareciera en nuestra muestra que si afecta la SLE y SG.

## MÉTODO.

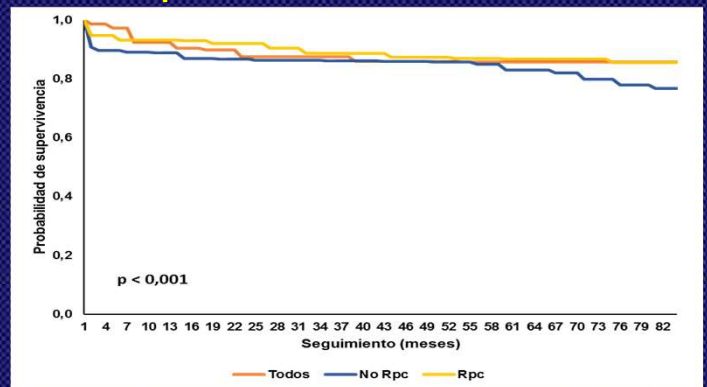
Descriptivo, retrospectivo, de corte longitudinal, 196 pacientes recibieron QTN estadios IIB y III.

Supervivencia global y libre de enfermedad según respuesta patológica en relación al fenotipo molecular.

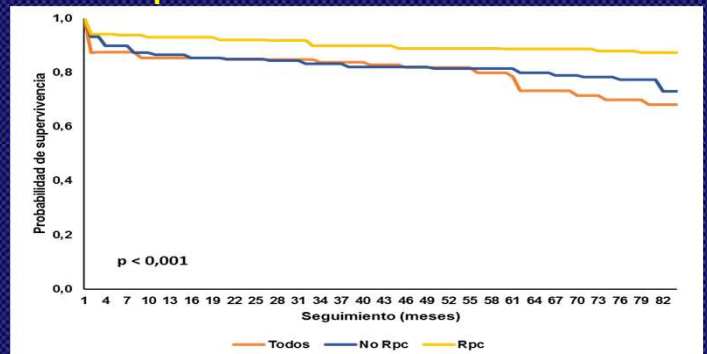
Supervivencia	Luminal A	Luminal B	Her-2	Triple negativo	P
Global					
Todos	91,9	92,0	85,3	85,7	0,845
Incompleta	85,7	83,1	81,0	76,9	0,800
Completa	91,9	90,9	87,8	85,7	0,277
Valor-p (*)	0,039	0,005	0,048	0,001	
Libre de enfermedad					
Todos	79,9	77,0	68,2	63,9	0,347
Incompleta	81,4	74,5	73,0	66,7	0,873
Completa	88,7	86,7	87,4	86,0	0,074
Valor-p (*)	0,001	0,001	0,026	0,287	

(\*) comparando global RPC por subgrupo

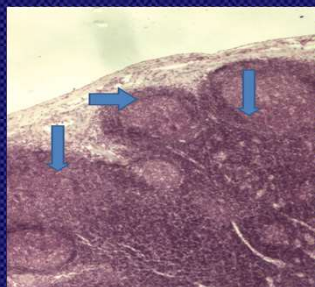
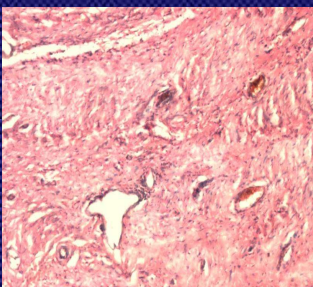
Comparación de curvas de SG en TN.



Comparación de curvas de SLE en Her-2.



Comparación de RPC.



## Bibliografía.

- 1.- Esserman L. Jama 2011;306(23): 2608-2609.
- 2.-Cortazar, P. The Lancet 2014; 384(9938): 164-172.
- 3.-Mamounas A. J Clin Oncol. 2012;Nov 10; 30(32):3960-6

\*Adjunto del Servicio Oncológico Hospitalario IVSS. \*\* Patólogo del Servicio Oncológico Hospitalario IVSS.